

The Effect Of Non – Dimensional Parameter(*NE*)On The Velocity And Temperature For The Non- Newtonian Fluids During Its Flow Through Inside Square Enclosure

تأثير المقدار اللا بعدي على السرعة ودرجة الحرارة للموائع اللانيوتنية خلال جريانها في قناة مربعة المقطع

راهي عبد الحسن
المعهد التقني كوفة

كاظم خيون كحول
المعهد التقني كوفة

محمد عبد الصادق
المعهد التقني كوفة

الخلاصة :-

تم في هذا البحث دراسة تأثير المقدار اللا بعدي (*NE*) لنموذج براندلل الرياضي في السرعة ودرجة الحرارة للموائع اللانيوتنية خلال جريانها في قناة مربعة المقطع وذلك بأجراء دراسة عدبية لأنفاق الحرارة بالحمل الطبيعي المستقر على أن تكون الجدران العمودية مسخنة إلى درجات حرارة مختلفة (منتظمة) والجدران الأفقيّة المتوازية معزولة حراريّاً كشروط حدية.

استخدمت طريقة الفروق المحدودة (Finite Difference) لحل المعادلات الخاصة بالوسط المغلق بواسطة بناء برنامج بلغة فيجوال بيسك .

أظهرت نتائج الدراسة أن زيادة المقدار اللا بعدي (*NE*) يؤدي إلى زيادة السرعة ودرجة الحرارة . كما أن زيادة قيمة المقدار اللا بعدي (*NE*) تؤدي إلى زيادة قيمة دالة الأنسياب ψ_{max} لتصل عند قيمة عظمى مقدارها (25.32) لعدد رالي المعدل ($Ra_E=110000$) . وهذا ينطبق أيضاً على قيم معدل عدد نسلت Nu_a حيث تصل أعلى قيمة له (11.42) عند عدد رالي المعدل ($Ra_E=110000$) و المقدار اللا بعدي ($NE=10$) . وقد أجريت جميع الاختبارات عند عدد براندلل المطور ($Pr^*=15$) .

Abstract :-

In this research the effect of non – dimensional parameter (*NE*) of Prandtl – Eyring model on the velocity and temperature for the inside square enclosure has been studied . The research used a numerical study for steady natural heat induction with some conditional , these are the perpendicular walls were heated in a different regular heat and the horizontal walls were isolated .

The finite difference method was used to solve the formulas related to the inside square enclosure by using visual basic program .

The results showed that the increase in the non-dimensional parameter(*NE*) increased the velocity and temperature , Also the increase in *NE* increased the value of flow ψ_{max} until the maximum value was reached at (25.32) for the modified Rayleigh number of (110000) .The same results appeared with the average Nusselt number Nu_a until it reaches its high value (11.42) at modified Rayleigh number of (110000) and *NE* =10 . All trials were performed at modified Prandtl number ($Pr^*=15$) .

الأسماء التعريفية(المصطلحات)

$A & B$	= Fluid consistency indices for the Prandtl – Eyring model ($kg/m.s^2$) & (s)	(معاملات المائع لموديل براندل)
g	= Gravitational acceleration (m/s^2).	التعجيل الأرضي
h	= Heat transfer coefficient ($W/m^2.K$).	معامل انتقال الحرارة
k	= Thermal conductivity of fluid ($W/m.K$).	التوصيل الحراري للمائع
L	= Width and Height of enclosure (m).	طول المربع
NE	= Fluid index of Prandtl – Eyring model = $\frac{\alpha B}{L^2}$.	المقدار اللا بعدي للموديل الرياضي لبراندل
Nu_a	= Average Nusselt number.	معدل عدد نسلت
Nu	= Nusselt number = $\frac{qL}{k(T_h - T_c)}$.	عدد نسلت
P	= Pressure (Pa).	الضغط
Pr	= Prandtl number = (ν/α).	عدد براندل
Pr^*	= Modified Prandtl number = $\frac{AB}{\rho_o \alpha}$.	عدد براندل المطور، * تعني العالمة المطور
q	= Heat flux (W/m^2)	حرارة الجريان
Ra	= Modified Rayleigh number = $Ra_E = \frac{\rho_0 g \beta L^3 (T_h - T_c)}{AB \alpha}$	عدد رالي المطور
T	= Temperature (K).	درجة الحرارة
u	= Fluid velocity in x -direction (m/s).	سرعة المائع باتجاه x
v	= Fluid velocity in y -direction (m/s).	سرعة المائع باتجاه y
$x & y$	= Cartesian coordinates.	الأحداثيات القطبية
$\Delta x & \Delta y$	= Grid size in the x and y directions, respectively (m).	حجم الشبكة باتجاه x و y
<u>الرموز اللاتينية</u>		

$$\tau_{yx} = \text{Shear stress (Pa)} = \begin{cases} \mu \frac{\partial u}{\partial y} \\ A \sinh^{-1}(B \frac{\partial u}{\partial y}) \end{cases}$$

أجهاد القص للموائع النيوتينية

أجهاد القص للموائع غير النيوتينية

τ_{xx}	= Normal stress in the x direction.	الأجهاد العمودي باتجاه x
τ_{yy}	= Normal stress in the y direction.	الأجهاد العمودي باتجاه y
ρ	= Density (kg/m^3).	الكثافة
α	= Thermal diffusivity (m^2/s).	الانتشار الحراري
β_T	= Thermal expansion coefficient ($1/K$).	معامل التمدد الحراري
ψ	= Stream function (m^2/s).	دالة الأنسبياب
ω	= Vorticity ($1/s$).	دوامة (أضطراب دوامي)
ΔT	= Temperature difference (K).	الفرق بدرجات الحرارة
θ	= Dimensionless temperature = $\frac{T - T_c}{T_h - T_c}$	درجة الحرارة لابعدية

T_h	= Temperature of the heated wall (K).	درجة الحرارة على الجدار المسخن
T_c	= Temperature of the cold wall (K).	درجة الحرارة على الجدار البارد
θ_h	= The dimensionless Temperature of the heated wall .	درجة الحرارة لابعدية على الجدران المسخنة
μ	= Dynamic viscosity, ($kg/m.s$).	اللزوجة الديناميكية للمائع
ν	= Kinematic viscosity of fluid (m^2/s).	اللزوجة الحرارية للمائع

المقدمة :- (Introduction)

أن انتقال الحرارة بالحمل الطبيعي للموائع النيوتينية والغير نيوتنية في وسط مغلق كان موضوع دراسات عديدة في السنوات الأخيرة بسبب استخدامها في تطبيقات هندسية واسعة مثل عزل الأنابيب وتهوية الغرف وعزل المفاعل النووي والنمو البليوري في السوائل وتبريد المكونات الكهربائية [1].

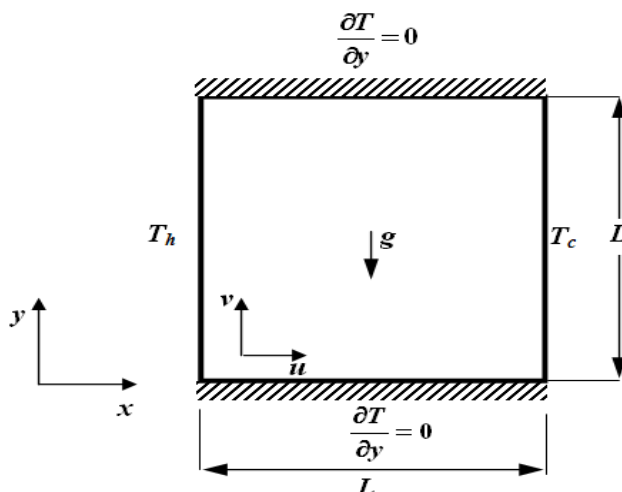
يصاحب عملية انتقال الحرارة بالحمل الطبيعي في وسط مغلق العديد من المشاكل ، ومن المحتمل أن يكون مصدر هذه المشاكل هو اختلاف أبعاد القناة و نوع السائل وطبيعة تدفق (جريان) السائل وغيرها من المشاكل [2] . من العوامل المؤثرة على جريان المائع وانتقال الحرارة فيه هي عدد رالي المعدل وعدد براندل المعدل والمقدار اللابعدي للموديل الرياضي (Prandtl – Eyring) والذي يصف الجريان للموائع اللانويوتينية [3]. أن نوع المائع يمكن أن يحدد من خلال المقدار اللابعدي(Fluid index) حيث أن الموائع النيوتينية تكون فيها قيمة ($NE=0$) أما في حالة كون قيمة ($NE>0$) فأن المائع يكون مائع لانيوتني [3].

أن أغلب عمليات التحليل المستخدمة في دراسة جريان الماء في قنوات مغلقة تعتمد على معادلات تغيرات الكتلة والعزز والطاقة والتي تكون في أغلب الأحيان معادلات ثنائية أو ثلاثة الأبعاد و في هذا البحث نحاول دراسة جريان الماء اللانويوتيني فأن هذه المعادلات سوف يضاف لها حدود تجعل من هذه المعادلات (معادلات الكتلة والعزز والطاقة) معادلات لاختصية يكون من الصعب في كثير من الأحيان حلها أو يمكن من المستحيل حلها في أحياناً أخرى بالطرق التحليلية المعروفة . لذلك كان لابد من اللجوء الى استخدام الطرق العددية لحل مثل هذه المعادلات الالخصية ومن هذه الطرق هي طريقة الفروق المحدودة (Finite Difference) [4].

المعادلات الرياضية :- (Mathematical Formulation)

نفترض لدينا طبقة جريان ماء لانيوتني ثانوي البعض وبخواص فيزيائية ثابتة وهي اللزوجة الحرارية(ν) والانتشار الحراري(α) و معامل التمدد الحراري(β_T) في حالة مستقرة مساحة مقطع وسطه مربع مغلق طوله الجانبي (L) كما في الشكل رقم (1) وبشروط حدية كمالية :-

- 1- الجدران العمودية مسخنة بدرجات حرارية منتظمة ومختلفة ($T_h & T_c$).
- 2- الجدران الأفقيّة معزولة بالكامل.



شكل(1) جريان مستقر في مقطع مربع

يعبر عن الكثافة كقيمة ثابتة بمعادلة خطية كمالية :-

$$\rho = \rho_o [1 - \beta_T (T - T_o)] \quad (1)$$

حيث ρ_o تمثل الكثافة عند درجة حرارة الغرفة ، و β_T معامل التمدد الحراري لدرجة حرارة الغرفة T_o .

المعادلات التي تحكم بالوسط المغلق ثانوي الأبعاد هي :-

$$\frac{\partial u}{\partial x} + \frac{\partial v}{\partial y} = 0 \quad (2)$$

$$\rho_o (u \frac{\partial u}{\partial x} + v \frac{\partial u}{\partial y}) = - \frac{\partial p}{\partial x} + \frac{\partial \tau_{xx}}{\partial x} + \frac{\partial \tau_{yx}}{\partial y} \quad (3)$$

$$\rho_o(u \frac{\partial v}{\partial x} + v \frac{\partial v}{\partial y}) = -\frac{\partial p}{\partial y} + \frac{\partial \tau_{xy}}{\partial x} + \frac{\partial \tau_{yy}}{\partial y} - \rho g \quad (4)$$

$$u \frac{\partial T}{\partial x} + v \frac{\partial T}{\partial y} = \alpha(\frac{\partial^2 T}{\partial x^2} + \frac{\partial^2 T}{\partial y^2}) \quad (5)$$

حيث أن (u, v, P, T) تمثل مركبات سرعة المائع والانتشار الحراري والضغط ودرجة الحرارة . كما أن المعادلات من (2) إلى (5) تمثل نظام المعادلات التفاضلية الجزئية . وأن معادلات الكتلة والعزم والطاقة تمثل الأساس لظاهرة الحمل الطبيعي الثنائي المغلق .

الموديل الرياضي (Prandtl – Eyring) للموائع اللانويوتية يتمثل بالمعادلات التالية [5]:-

$$\tau = A \sinh^{-1}(B \frac{\partial u}{\partial y}) \quad (6)$$

$$\tau_{xx} = 2A \sinh^{-1}(B \frac{\partial u}{\partial x}) \quad (7)$$

$$\tau_{yy} = 2A \sinh^{-1}(B \frac{\partial v}{\partial y}) \quad (8)$$

$$\tau_{xy} = \tau_{yx} = A \sinh^{-1}[B(\frac{\partial u}{\partial y} + \frac{\partial v}{\partial x})] \quad (9)$$

حيث أن A و B تمثل معاملات المائع للموديل الرياضي (Prandtl – Eyring) لأيجاد دالة الأنساب (ψ) =Stream function والدوامة (ω) بصيغتها النهائية نبدأ من دالة الأنساب $\psi(x, y)$ بصيغتها الرياضية [6]:-

$$u = \frac{\partial \psi}{\partial y} \quad & \quad v = -\frac{\partial \psi}{\partial x} \quad (10)$$

من المعادلة (10) نجد أن دالة الأنساب تحقق معادلة الاستمرارية لمجال مستوى الجريان ولا يكون صفر لمركبات الدوامة وكمالي [7]:-

$$\omega = \frac{\partial v}{\partial x} - \frac{\partial u}{\partial y} \quad (11)$$

ومن جمع المعادلتين (10) و (11) نحصل على معادلة جديدة بدلالة دالة الأنساب :-

$$\frac{\partial^2 \psi}{\partial x^2} + \frac{\partial^2 \psi}{\partial y^2} = -\omega \quad (12)$$

نقوم بتعويض المعادلة (12) في المعادلتين (3) و (4) للحصول على مجموعة جديدة من المعادلات :-

$$\rho_o [\frac{\partial \psi}{\partial y} \frac{\partial \omega}{\partial x} - \frac{\partial \psi}{\partial x} \frac{\partial \omega}{\partial y}] = AB [\frac{\partial^2 \omega}{\partial x^2} + \frac{\partial^2 \omega}{\partial y^2}] + AB [\frac{\partial S_1}{\partial x} - \frac{\partial S_2}{\partial y} - 4 \frac{\partial S_3}{\partial x}] + S_G \quad (13)$$

$$\frac{\partial \psi}{\partial y} \frac{\partial T}{\partial x} - \frac{\partial \psi}{\partial x} \frac{\partial T}{\partial y} = \alpha (\frac{\partial^2 T}{\partial x^2} + \frac{\partial^2 T}{\partial y^2}) \quad (14)$$

$$S_G = AB [\frac{\partial^4 \psi}{\partial x^4} + \frac{\partial^4 \psi}{\partial y^4} + 2 \frac{\partial^4 \psi}{\partial x^2 \partial y^2}] + \rho_o g \beta \frac{\partial T}{\partial x} \quad (15)$$

$$S_1 = \frac{\frac{\partial^3 \psi}{\partial x \partial y^2} - \frac{\partial^3 \psi}{\partial x^3}}{\sqrt{1 + (B(\frac{\partial^2 \psi}{\partial y^2} - \frac{\partial^2 \psi}{\partial x^2}))^2}} , \quad S_2 = \frac{\frac{\partial^3 \psi}{\partial y^3} - \frac{\partial^3 \psi}{\partial y \partial x^2}}{\sqrt{1 + (B(\frac{\partial^2 \psi}{\partial y^2} - \frac{\partial^2 \psi}{\partial x^2}))^2}} , \quad S_3 = \frac{\frac{\partial^3 \psi}{\partial x \partial y^2}}{\sqrt{1 + (B \frac{\partial^2 \psi}{\partial x \partial y})^2}} \quad (16)$$

وكتابة المعادلات الرياضية أعلاه بصيغتها اللابعدية (Dimensionless) نحصل على تعريف جديد للمتغيرات [8]:-

$$x^* = \frac{x}{L}, \quad y^* = \frac{y}{L}, \quad \theta = \frac{T - T_c}{T_h - T_c}, \quad \psi^* = \frac{\psi}{\alpha}, \quad \omega^* = \frac{\omega L^2}{\alpha}$$

نستخدم المتغيرات اللابعدية (Dimensionless Parameter) على المعادلات من (12) الى (16) نحصل على المعادلات التالية :-

$$\frac{\partial^2 \psi^*}{\partial x^{*2}} + \frac{\partial^2 \psi^*}{\partial y^{*2}} = -\omega^* \quad (17)$$

$$\frac{\partial \psi^*}{\partial y^*} \frac{\partial \omega^*}{\partial x^*} - \frac{\partial \psi^*}{\partial x^*} \frac{\partial \omega^*}{\partial y^*} = Pr^* \left[\frac{\partial^2 \omega^*}{\partial x^{*2}} + \frac{\partial^2 \omega^*}{\partial y^{*2}} \right] + Pr^* \left[\frac{\partial S_1^*}{\partial x^*} - \frac{\partial S_2^*}{\partial y^*} - 4 \frac{\partial S_3^*}{\partial x^*} \right] + S_G^* \quad (18)$$

$$\frac{\partial \psi^*}{\partial y^*} \frac{\partial \theta}{\partial x^*} - \frac{\partial \psi^*}{\partial x^*} \frac{\partial \theta}{\partial y^*} = \frac{\partial^2 \theta}{\partial x^{*2}} + \frac{\partial^2 \theta}{\partial y^{*2}} \quad (19)$$

حيث أن :-

$$S_G^* = Pr^* \left[\frac{\partial^4 \psi^*}{\partial x^{*4}} + \frac{\partial^4 \psi^*}{\partial y^{*4}} + 2 \frac{\partial^4 \psi^*}{\partial x^{*2} \partial y^{*2}} \right] + Pr^* Ra \frac{\partial \theta}{\partial x^*} \quad (20)$$

$$S_1^* = \frac{\frac{\partial^3 \psi^*}{\partial x^* \partial y^{*2}} - \frac{\partial^3 \psi^*}{\partial x^{*3}}}{\sqrt{1 + (NE(\frac{\partial^2 \psi^*}{\partial y^{*2}} - \frac{\partial^2 \psi^*}{\partial x^{*2}}))^2}} \quad (21)$$

$$S_2^* = \frac{\frac{\partial^3 \psi^*}{\partial y^{*3}} - \frac{\partial^3 \psi^*}{\partial y^* \partial x^{*2}}}{\sqrt{1 + (NE(\frac{\partial^2 \psi^*}{\partial y^{*2}} - \frac{\partial^2 \psi^*}{\partial x^{*2}}))^2}} \quad (22)$$

$$S_3^* = \frac{\frac{\partial^3 \psi^*}{\partial x^* \partial y^{*2}}}{\sqrt{1 + (NE(\frac{\partial^2 \psi^*}{\partial x^* \partial y^*}))^2}} \quad (23)$$

$$Pr^* = \frac{AB}{\rho_o \alpha} \quad \text{عدد براندل المطرور}, \quad Ra = Ra_E = \frac{\rho_o g \beta L^3 (T_h - T_c)}{AB \alpha}$$

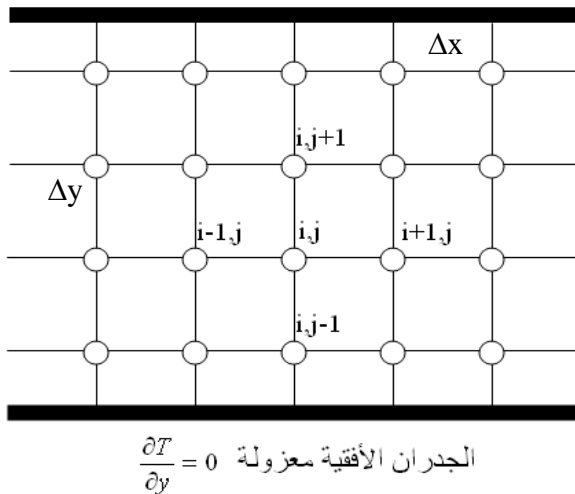
$$NE = \frac{\alpha B}{L^2} \quad \text{المقدار اللا بعدي (NE) للموديل الرياضي (Prandtl – Eyring)}$$

الطرق العددية (Numerical Method) :-

تطورت الطرق العددية كثيرا في الأونة الأخيرة وأصبحت تعالج مشاكل المعادلات اللاخطية أو المعادلات المعقده التي تحتوي على شروط حدية معقدة . وكان هذا التطور من خلال استخدام أساليب برمجية معينة كأساليب المعاودة (Iteration) والتي تعتمد بشكل أساسى كيفية الحصول على التقارب (Convergent) في الحل العددي للمعادلات الخطية واللاخطية وخاصة عند استخدام طريقة الفروق المحدودة (Finite Difference) . أن طريقة الفروق المحدودة تستطيع أن تحل المعادلات الخاصة بالوسط المغلق ، وعليه فإن المعادلات الثلاثة (17) و (18) و (19) سيمطحها ضمن شروط دالة الأنسياب و درجة الحرارة و الدوامة . أن أسلوب التقارب في طريقة الفروق المحدودة للمعادلات الخاصة بالوسط المغلق تستند على تقسيم هذه الفترة ($x^* \leq 0$) الى (m) من الأقسام المتساوية وتقسّل هذه الأقسام بواسطة عقد (m+1) (m+1) . ولغرض الحصول على شكل المعادلة التقاضية الجزئية بطريقة الفروق المحدودة هو تقرير جميع الاشتقاتات الجزئية في المعادلة بواسطة متسلسلة تايلور [١٩] .

يمكن تقريب المعادلة رقم (17) باستعمال نقطة داخل الشبكة المنتظمة (j, i) تمثل الاختلاف المركزي (Central Difference) لجميع النقط كما في الشكل (2) ، وتنكتب المعادلة بالشكل التالي [9] :-

$$\frac{\partial T}{\partial y} = 0 \quad \text{الجدران الأفقية معزولة}$$



شكل(2) يمثل حركة العناصر المتكونة داخل الشبكة المنتظمة

$$\psi_{i,j}^* = [2(\psi_{i+1,j}^* + \psi_{i-1,j}^*)(\Delta y^2) + 2(\psi_{i,j+1}^* + \psi_{i,j-1}^*)(\Delta x^2) + 2(\Delta x^2)(\Delta y^2)\omega_{i,j}^*] / [4(\Delta y^2) + 4(\Delta x^2)] \quad (24)$$

ولضمان حصول التقارب في الحل العددي كان لابد من استخدام طريقتي الفروق الأمامية (Forward) والفروق الخلفية (Backward) لما توفره هذه الطريقة من بساطة ومونة في التعامل مع كتابة المعادلين (18) و (19) ، حيث يمكن كتابة هاتين الطريقتين بالشكل التالي [10] :-

$$\gamma = \psi_{i+1,j}^* - \psi_{i-1,j}^* \quad \text{and} \quad \beta = \psi_{i,j+1}^* - \psi_{i,j-1}^* \quad (\text{Central differences}) \quad (25)$$

وتصبح المعادلين (18) و (19) كمالي [11] :-

$$-(2(\Delta y^2) + 2(\Delta x^2))\omega_{i,j}^* + Pr^*((\Delta y^2)(\omega_{i+1,j}^* + \omega_{i-1,j}^*) + (\Delta x^2)(\omega_{i,j+1}^* + \omega_{i,j-1}^*)) + \\ (\Delta x^2)(\Delta y^2)[Pr^*(\frac{\partial S_1^*}{\partial x^*} - \frac{\partial S_2^*}{\partial y^*} - 4\frac{\partial S_3^*}{\partial x^*}) + S_G^* + (\frac{\gamma}{2\Delta x^2}\frac{\partial \omega^*}{\partial y^*} - \frac{\beta}{2\Delta y^2}\frac{\partial \omega^*}{\partial x^*})] = 0 \quad (26)$$

$$-(2(\Delta y^2) + 2(\Delta x^2))\theta_{i,j} + ((\Delta y^2)(\theta_{i+1,j} + \theta_{i-1,j}) + (\Delta x^2)(\theta_{i,j+1} + \theta_{i,j-1})) + \\ + (\Delta x^2)(\Delta y^2)[\frac{\gamma}{2\Delta x^2}\frac{\partial \theta}{\partial y^*} - \frac{\beta}{2\Delta y^2}\frac{\partial \theta}{\partial x^*}] = 0 \quad (27)$$

$$\gamma \geq 0, \quad \frac{\partial f}{\partial y} = \frac{f_{i,j+1} - f_{i,j}}{\Delta y}, \quad (b_1 = 1), \quad \text{and} \quad (b_2 = 0) \quad (\text{Forward differences}) \quad \text{الشروط الخاصة } \gamma$$

$$\gamma < 0, \quad \frac{\partial f}{\partial y} = \frac{f_{i,j} - f_{i,j-1}}{\Delta y_r}, \quad (b_1 = 0), \quad \text{and} \quad (b_2 = 1) \quad (\text{Backward differences})$$

$$\beta \geq 0, \quad \frac{\partial f}{\partial x} = \frac{f_{i,j} - f_{i-1,j}}{\Delta x_r}, \quad (a_1 = 1), \quad \text{and} \quad (a_2 = 0) \quad (\text{Backward differences}) \quad \text{الشروط الخاصة } \beta$$

$$\beta < 0, \quad \frac{\partial f}{\partial x} = \frac{f_{i+1,j} - f_{i,j}}{\Delta x}, \quad (a_1 = 0), \quad \text{and} \quad (a_2 = 1) \quad (\text{Forward differences})$$

وبعد استخدام الشروط السابقة فأن المعادلين (26) و (27) تصبحان كالأتي [11] :-

$$\begin{aligned} \omega_{i,j}^* = & [(0.5\gamma b_1(\Delta x)(\Delta y) + Pr^*(\Delta x^2))\omega_{i,j+1}^* + (0.5\beta a_1(\Delta x)(\Delta y) + Pr^*(\Delta y^2))\omega_{i-1,j}^* \\ & - (0.5\beta a_2(\Delta x)(\Delta y) - Pr^*(\Delta y^2))\omega_{i+1,j}^* - (0.5\gamma b_2(\Delta x)(\Delta y) - Pr^*(\Delta x^2))\omega_{i,j-1}^* + \\ & Pr^*(\Delta x^2)(\Delta y^2)(\frac{S_{1)i+a_2,j}^* - S_{1)i-a_1,j}^* - \frac{S_{2)i,j+b_1}^* - S_{2)i,j-b_2}^* - 4\frac{S_{3)i+a_2,j}^* - S_{3)i-a_1,j}^*) \\ & + S_{G)i,j}^*(\Delta x^2)(\Delta y^2)]/[2(\Delta y^2) + 2(\Delta x^2) + (\Delta x^2)(\Delta y^2)(\frac{\gamma}{2(\Delta x)(\Delta y)^{b_1}}(-\Delta y)^{b_2}) \\ & + \frac{\beta}{2(\Delta y)(\Delta x)^{a_1}}(-\Delta x)^{a_2})] \end{aligned} \quad (28)$$

$$\begin{aligned} \theta_{i,j} = & [(0.5\gamma b_1(\Delta x)(\Delta y) + (\Delta x^2))\theta_{i,j+1} + (0.5\beta a_1(\Delta x)(\Delta y) + (\Delta y^2))\theta_{i-1,j} \\ & - (0.5\beta a_2(\Delta x)(\Delta y) - (\Delta y^2))\theta_{i+1,j} - (0.5\gamma b_2(\Delta x)(\Delta y) - (\Delta x^2))\theta_{i,j-1}] / \\ & [2(\Delta y^2) + 2(\Delta x^2) + (\Delta x^2)(\Delta y^2)(\frac{\gamma}{2(\Delta x)(\Delta y)^{b_1}}(-\Delta y_r)^{b_2} + \frac{\beta}{2(\Delta y)(\Delta x_r)^{a_1}}(-\Delta x)^{a_2})] \end{aligned} \quad (29)$$

ولتسريع عملية الحل العددي كان لابد من استخدام تقنية تعجل من التقارب في الحل العددي للمعادلين (29 و 28) وهذه التقنية هي طريقة تحت – التراخي (Under – Relaxation Method) والتي يمكن تمثيلها بالشكل التالي [9] :-

$$\omega_{i,j}^{*k+1} = (1 - Fv)\omega_{i,j}^{*k} + (Fv)\omega_{i,j}^* \quad (30)$$

حيث أن $\omega_{i,j}^*$ تكون عبارة عن القيم المحسوبة من المعادلة (28) و (Fv) يمثل عامل التراخي للدوامة ومداه من (0.2).

المعادلات الثلاثة (24) و (28) و (29) تم تطبيق الشروط الحدية الآتية عليها [12] :-

$$\begin{aligned} 0 \leq x^* \leq 1 & \quad y^* = 0 \quad \psi^* = \frac{\partial \psi^*}{\partial y^*} = 0 \quad \frac{\partial \theta}{\partial y^*} = 0 \\ 0 \leq x^* \leq 1 & \quad y^* = 1 \quad \psi^* = \frac{\partial \psi^*}{\partial y^*} = 0 \quad \frac{\partial \theta}{\partial y^*} = 0 \\ x^* = 0 & \quad 0 \leq y^* \leq 1 \quad \psi^* = \frac{\partial \psi^*}{\partial x^*} = 0 \quad \theta = \theta_h \\ x^* = 1 & \quad 0 \leq y^* \leq 1 \quad \psi^* = \frac{\partial \psi^*}{\partial x^*} = 0 \quad \theta = \theta_c \end{aligned}$$

ويمكنا كتابة الشروط الحدية الخاصة بالدوامة باستخدام طريقة الفروق المحدودة بالشكل التالي :-

$$\omega_o = \frac{3(\psi_o - \psi_1)}{\Delta n^2} - \frac{\omega_1}{2} \quad (31)$$

حيث أن $\Delta n = \Delta y$ أو Δx الكميات الفизيائية المهمة في هذه المسألة هي عدد نسلت الموجود على أمتداد الجدار المسخن ويعرف بواسطة المعادلة التالية [13] :-

$$Nu = \frac{qL}{k(T_h - T_c)} \quad (32)$$

ويعرف معدل عدد نسلت بالمعادلة التالية :-

$$Nu_a = \int_0^1 \left. \frac{\partial \theta}{\partial x^*} \right|_{x^*=0 \text{ or } 1} dy \quad (33)$$

تم بناء برنامج بلغة الفجوال بيسك لحساب الأمور الآتية :-

1- المعادلة (24) تستعمل لحساب قيم جديدة للمجال (ψ^*) من خلال نقطة معتمدة على نقطة .

2- المعادلة (28) تستعمل لحساب قيم جديدة لـ (ω^*) .

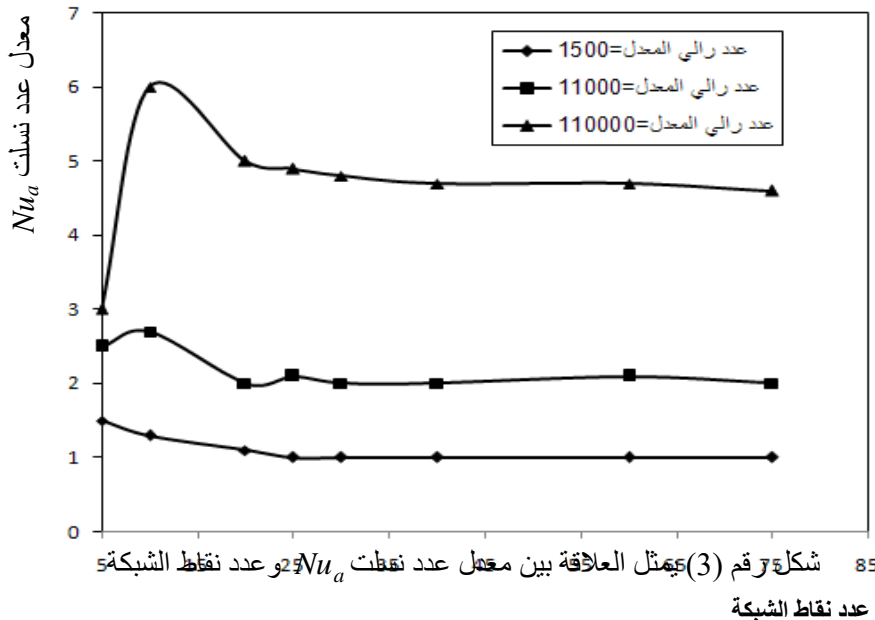
3- معادلة الطاقة (29) تستعمل لحساب قيم جديدة للمجال (θ^*) .

4- توقف تكرار الحساب في البرنامج من خلال حساب نسبة الخطأ المتبقى المقبولة من خلال المعادلة التالية :-

$$\left[\sum_{i,J} \left| \tau^{r+1}_{i,j} - \tau^r_{i,j} \right| \right] \left/ \sum_{i,J} \tau^{r+1}_{i,j} \right. <= 10^{-5} \quad (34)$$

حيث أن (r) قيمة توقف التكرار ، (τ) المتغير المترعرع وهو أما (ψ^* أو ω^* أو θ^*) .

للغرض اختيار حجم الشبكة تم أجراء تجارب لشبكات متعددة الأحجام يتراوح بين (5×5) إلى (75×75) مع قيم متغيرة لعدد رالي المطهور ($Ra \leq 1500$) مع وضع قيمة ثابتة لعدد براندل المطهور (15) ، وتم رسم علاقة كما في الشكل رقم (3) بين معدل عدد نسلت المحسوب وعد نقاط الشبكة ، ومن هذا الشكل تم اختيار الشبكة ذات الحجم (40×40) لأعطاء سرعة ودقة في الحساب وعدم شذوذ النتائج .



المناقشة : (Discussion)

الشكلين (4) و (5) يمثلان دالة الأنسياب ψ_{max} ومعدل عدد نسلت Nu_a لقيم مختلفة لمتغيرات النظام وللحالات المذكورة في الشروط الحرية . حيث أن الطاقة تنتقل من الجدار الساخن إلى الجدار البارد بواسطة التوصيل عندما يكون معدل عدد نسلت Nu_a يساوي (1) وعدد رالي المطهور (Ra_E) أقل من (1500) والمقدار اللابعدى (NE) أقل من (1) .

من الشكل رقم (4) يلاحظ أن القيمة العظمى لدالة الأنسياب ψ_{max} تساوى (9.8) عند قيم $Ra_E=110000$ وعدد براندل $Pr^*=15$ و $NE=0$ وهذا يتطابق مع ما توصل إليه الباحثين للموائع النيوتينية للجريان [14,15] .

يتضح من الشكل رقم (4) أيضا عند قيم قليلة لرالي ($Ra_E < 1500$) فإن دالة الأنسياب تكون ثابتة تقريبا بسبب هيمنة التوصيل الحراري كما ذكر سابقا ، بينما عند قيم عالية Ra_E فإن دالة الأنسياب تزداد بزيادة NE وتصل إلى قيمة ثابتة عندما يكون

وقيم رالي $Ra_E \geq 11000$ ، وتستمر زيادة دالة الأنسياب وتصل أعلى قيمة لها (25.32) عند $NE=110000$ و $Pr^*=15$ يعني زيادة السرعة . ومن هنا يتبيّن بأن دالة الأنسياب ψ_{max} تعتمد على عدد رالي المعدل والمقدار الابعدي وثبوت عدد براندل [16].

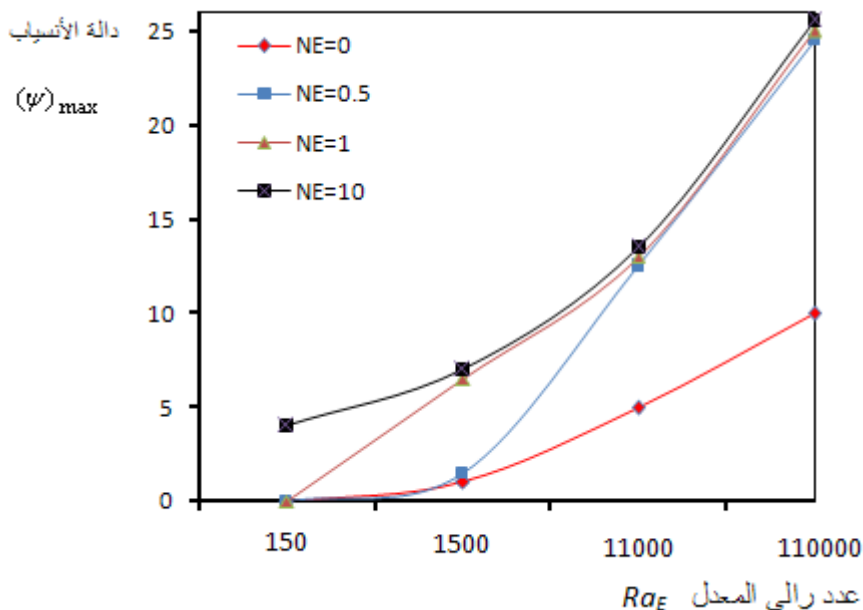
أن انتقال الحرارة بالحمل الطبيعي يتم من خلال تقييم أداء معامل انتقال الحرارة (h) والذي يكون عن طريق معدل عدد نسلت Nu_a دالة لتأثير المتغيرات [17] . حيث يبيّن شكل رقم (5) تباين معدل عدد نسلت Nu_a مقابل عدد رالي المعدل مع قيم مختلفة للمقدار الابعدي (NE) وعدد براندل ($Pr^*=15$) بسبب كون قوة الزوجة أعظم من قوة الطفو(Buoyancy) لذا تكون الحرارة مقلولة بالتوصيل. لوحظ أن الزيادة تكون صغيرة نسبياً لمعدل عدد نسلت Nu_a عندما يكون عدد رالي المعدل Ra_E أقل من (1500) لقيم مختلفة للمقدار الابعدي NE وثبوت عدد براندل $*Pr$ ، بينما تكون الزيادة سريعة لمعدل عدد نسلت Nu_a بسبب زيادة (NE) وتصل أعلى قيمة لها (11.42) عند $Ra_E = 110000$ يعني زيادة انتقال الحرارة بالتوصيل . حيث يلاحظ تأثير (NE) على Nu_a يكون أكثر وضوحاً عند زيادة عدد رالي المعدل Ra_E .

نلاحظ من الشكل (6) أن معدل عدد نسلت على أمتداد الجدار المسخن للقناة المربعة المغلقة في حالة مستقرة لقيم رالي المعدل من (1500 إلى 110000) بثبوت عدد براندل $Pr^*=15$ وأعطت اختلاف قليل مع ماتوصل إليه الباحث (Elba وأخرون) [2] وكذلك (Hortmann وأخرون) [15] و (Davis [16]) . وأن مقدار الاختلاف لا يتجاوز (±5%) .

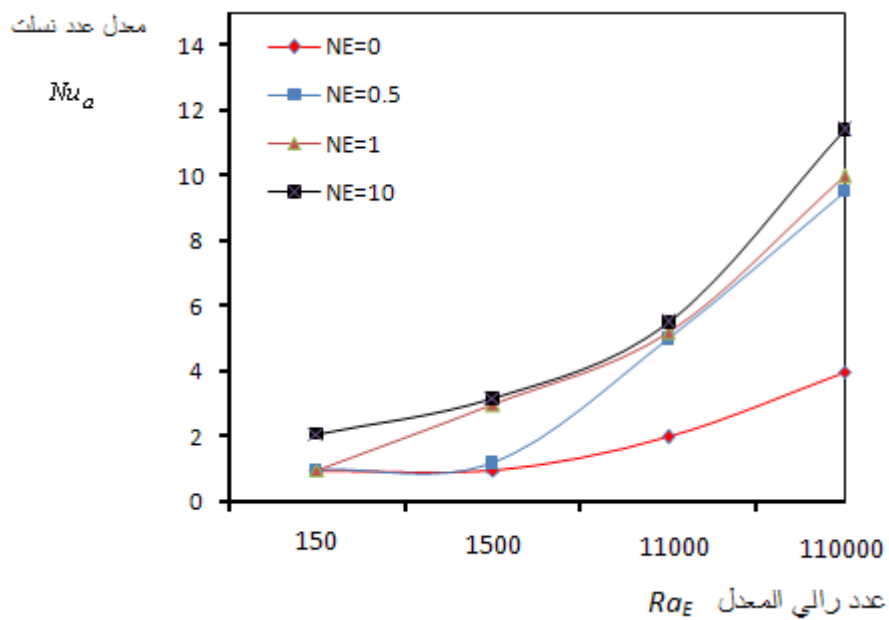
الاستنتاجات (Conclusions)

من خلال النتائج والمخططات التي تم استعراضها سابقاً يمكننا أن نصل إلى الاستنتاجات التالية :-

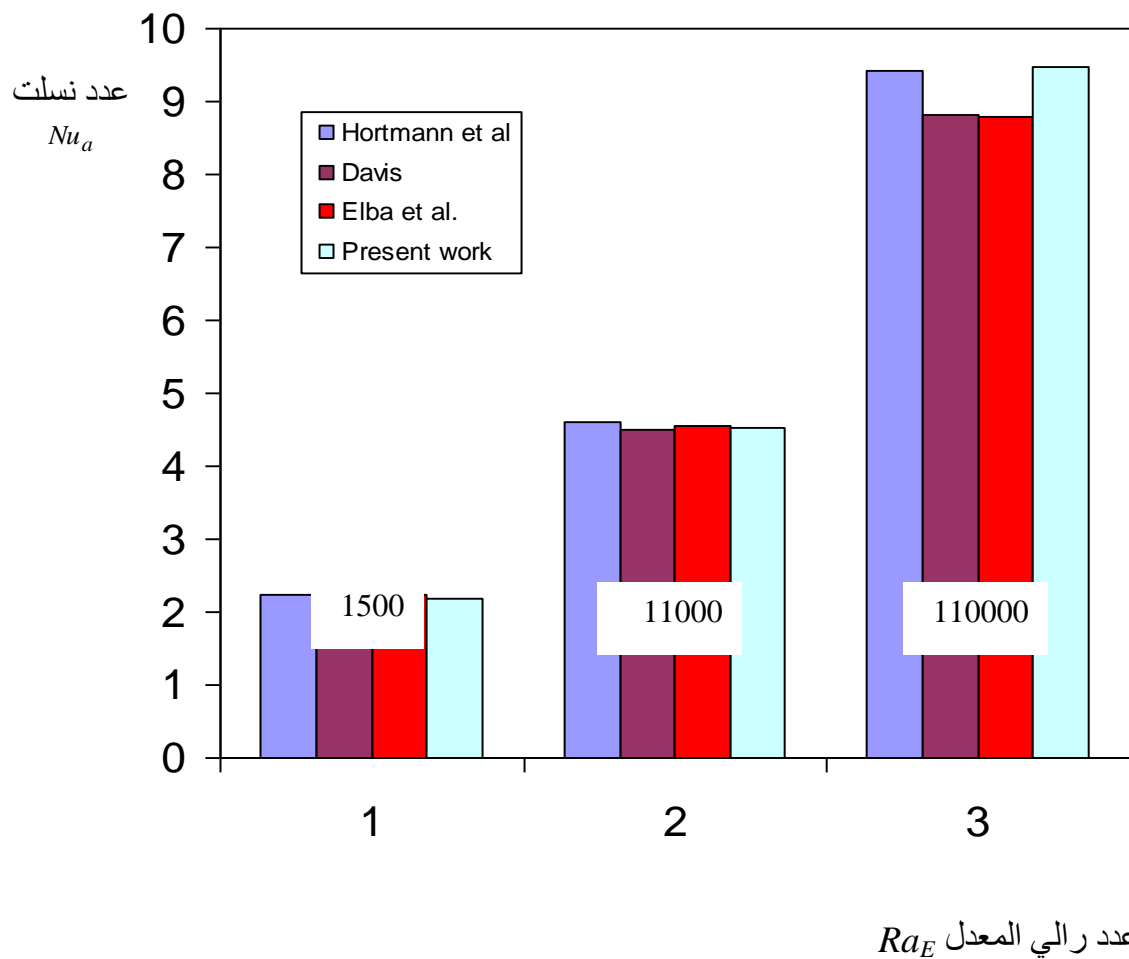
- 1- زيادة المقدار الابعدي (NE) يؤدي إلى زيادة معدل عدد نسلت Nu ويصل أعلى قيمة له (11.42) ، وهذا يعني زيادة درجة الحرارة بسبب زيادة معامل انتقال الحرارة بالحمل (h) .
- 2- زيادة المقدار الابعدي (NE) يؤدي إلى زيادة دالة الأنسياب ψ_{max} وتحصل أعلى قيمة لها (25.32) ، وهذا يعني زيادة السرعة بسبب تأثيرات درجات الحرارة وتأثيرات الطفو(Buoyancy) .
- 3- عدد رالي المعدل له تأثير كبير على معدل انتقال الحرارة .
- 4- أمكن الحصول على تصور لكفاءة النظام المغلق للقناة المربعة من خلال انتقال الحرارة أو كفاءة التصميم .



شكل رقم (4) يمثل العلاقة بين دالة الأنسياب ψ_{max} مع عدد رالي المعدل Ra_E لقيم مختلفة لـ NE و $Pr^*=15$



شكل رقم (5) يمثل العلاقة بين معدل نusselt مع لقيم مختلفة لـ NE و $Pr^*=15$



شكل رقم (6) يمثل مقارنة بين معدل عدد نسلت Nu_a مع الدراسات السابقة

References :-

- [1] <http://hyperphysics.phy-astr.gsu.edu/hbase/thermo/heatra.htm/>. For general information on Heat Transfer , Thermodynamics and Conduction >
- [2] Elba , O. B . , Julio , C . R. , and Obidio , R. , “ Numerical Simulation for the Natural Convection Flow”, Int. Journal of Numerical methods in Fluids, Vol. 30, PP. 237-254, 2000.
- [3] Miomir, R., “Numerical Investigation of Laminar Natural Convection in Inclined Square Enclosures”, J. Appl . Phys., Chemistry and Technology, Vol. 2, PP.149-157, 2001.
- [4] Chanson,h. ,” Applied Hydrodynamics : An Introduction to ideal and Real Fluid Flows ”,Oxford University , Press , Taylor and Francis Group, Leiden ,The Netherlands , pp . 478 , 2009 .
- [5] J. M. Coulson, and J. S. Richardson, "Chemical Engineering", Bergamon, International Library, Vol. 3, 1983.
- [6] B.S.Massey and J.ward-Smith , "Mechanics of Fluid",7th ed.,Nelson Thomes,UK,1998 .
- [7] Ohkitani , K.,"Elementary Account of Vorticity Related Equations ",Cambridge University press.January 30, pp .58-63,2005.
- [8] Myers, E., “Analytical Methods in Conduction Heat Transfer”, Mc Graw – Hill Book Company, Inc., 1971.
- [9] Bejan, A., “Convection Heat Transfer”, Wiley, Inter Science Publication, John Wiley and Sons, Inc., 1984.
- [10] Najdat N., “Laminar Flow Separation in Constructed Channel”, Ph.D. Thesis, Michigan State University, 1987.
- [11] Dr. Ala'a A. Mahdi , "Laminar Natural Convection of Newtonian and Non – Newtonian Fluids Inside Triangular Enclosure ", University of Kufa , 2007.
- [12] G., Lauriat, “Numerical Study of the Interaction of Natural Convection with Radiation in Nongray Gases in a Narrow Vertical Cavity”, Int. Journal of Heat Transfer, Vol. 2, PP. 153-158, 1982.
- [13] Frank, K., and Mark, S., “Principles of Heat Transfer”, 5th Edition, PWS Publishing Company, 1997.
- [14] Subba, R., “Numerical Simulation of Laminar Natural Convection in Shallow Inclined Enclosures”, Int. Journal of Heat Transfer, Vol. 2, PP. 263-268, 1982.
- [15] M. Hortmann, M. Peric, and G. Scheuerer, “Finite Volume Multi grid Prediction of Laminar Natural Convection: Bench-Mark Solutions”, Int. Journal for Numerical Methods in Fluids, Vol. 11, PP. 189-207, 1990.
- [16] G., Davis , “Natural Convection of Air in a Square Cavity: A Bench Mark Numerical Solution”, Int. Journal for Numerical Methods in Fluids, Vol. 3, PP. 249-264, 1983.
- [17] F.M.White , " Fluid Mechanics",5thed.,McGraw-Hill Book Company, Inc., New York , 2003.